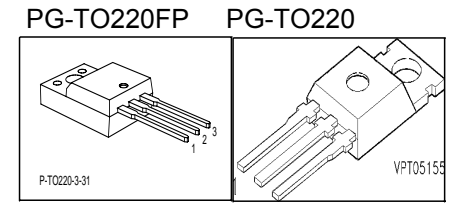


Cool MOS™ Power Transistor

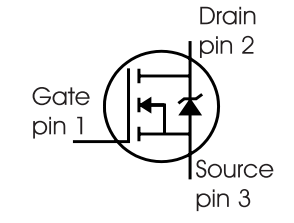
Feature

- New revolutionary high voltage technology
- Ultra low gate charge
- Periodic avalanche rated
- Extreme dv/dt rated
- High peak current capability
- Improved transconductance
- PG-TO-220-3-31;-3-111: Fully isolated package (2500 VAC; 1 minute)
- Pb-free lead plating; RoHS compliant
- Qualified according to JEDEC⁰⁾ for target applications

V _{DS} @ T _{jmax}	650	>
R _{DS(on)}	0.95	Ω
I _D	4.5	Α



Туре	Package	Ordering Code	Marking
SPP04N60C3	PG-TO220	Q67040-S4366	04N60C3
SPA04N60C3	PG-TO220FP	SP000216299	04N60C3



Maximum Ratings

Parameter	Symbol	Va	Unit	
		SPP	SPA	
Continuous drain current	I _D			Α
T _C = 25 °C		4.5	4.5 ¹⁾	
T _C = 100 °C		2.8	2.81)	
Pulsed drain current, t_p limited by T_{jmax}	I _{D puls}	13.5	13.5	А
Avalanche energy, single pulse	E _{AS}	130	130	mJ
I_{D} =3.4, V_{DD} =50V				
Avalanche energy, repetitive t_{AR} limited by T_{jmax}^{2}	E _{AR}	0.4	0.4	
I _D =4.5A, V _{DD} =50V				
Avalanche current, repetitive t_{AR} limited by T_{jmax}	I _{AR}	4.5	4.5	Α
Gate source voltage static	V _{GS}	±20	±20	V
Gate source voltage AC (f >1Hz)	V_{GS}	±30	±30	
Power dissipation, $T_C = 25^{\circ}C$	P _{tot}	50	31	W
Operating and storage temperature	T _i , T _{stg}	-55	+150	°C
Reverse diode dv/dt ⁷⁾	dv/dt	1	5	V/ns



Maximum Ratings

Parameter	Symbol	Value	Unit
Drain Source voltage slope	dv/dt	50	V/ns
$V_{\rm DS}$ = 480 V, $I_{\rm D}$ = 4.5 A, $T_{\rm j}$ = 125 °C			

Thermal Characteristics

Parameter	Symbol	Values			Unit
		min.	typ.	max.	
Thermal resistance, junction - case	R _{thJC}	-	-	2.5	K/W
Thermal resistance, junction - case, FullPAK	R _{thJC_FP}	-	-	4	
Thermal resistance, junction - ambient, leaded	R_{thJA}	-	-	62	
Thermal resistance, junction - ambient, FullPAK	R _{thJA FP}	-	-	80	
SMD version, device on PCB:	R_{thJA}				
@ min. footprint		-	-	62	
@ 6 cm ² cooling area ³⁾		-	35	_	
Soldering temperature, wavesoldering	T_{sold}	-	-	260	°C
1.6 mm (0.063 in.) from case for 10s ⁴⁾					

Electrical Characteristics, at T_i =25°C unless otherwise specified

Parameter	Symbol Conditions		Values			Unit
			min.	typ.	max.	
Drain-source breakdown voltage	V _{(BR)DSS}	V _{GS} =0V, I _D =0.25mA	600	-	-	V
Drain-Source avalanche	V _{(BR)DS}	V _{GS} =0V, I _D =4.5A	-	700	-	
breakdown voltage						
Gate threshold voltage	V _{GS(th)}	/ _D =200μA, / _{GS} =V _{DS}	2.1	3	3.9	
Zero gate voltage drain current	I _{DSS}	V _{DS} =600V, V _{GS} =0V,				μA
		<i>T</i> _j =25°C	-	0.5	1	
		<i>T</i> _j =150°C	-	-	50	
Gate-source leakage current	I _{GSS}	V _{GS} =30V, V _{DS} =0V	-	-	100	nA
Drain-source on-state resistance	R _{DS(on)}	V _{GS} =10V, I _D =2.8A				Ω
		<i>T</i> _j =25°C	-	0.85	0.95	
		<i>T</i> _j =150°C		2.3		
Gate input resistance	R _G	f=1MHz, open drain	-	0.95	-	



Electrical Characteristics

Parameter	Symbol	Symbol Conditions		Values		
			min.	typ.	max.	
Transconductance	<i>g</i> fs	$V_{DS} \ge 2*I_{D}*R_{DS(on)max}$	-	4.4	-	S
		I _D =2.8A				
Input capacitance	C _{iss}	V _{GS} =0V, V _{DS} =25V,	-	490	-	pF
Output capacitance	Coss	f=1MHz	-	160	-	
Reverse transfer capacitance	C _{rss}		-	15	-	
Effective output capacitance,5)	C _{o(er)}	V _{GS} =0V,	-	20	-	
energy related	, ,	V _{DS} =0V to 480V				
Effective output capacitance,6)	C _{o(tr)}		-	35	-	
time related						
Turn-on delay time	t _{d(on)}	V _{DD} =380V, V _{GS} =0/10V,	-	6	-	ns
Rise time	t _r	I _D =4.5A,	-	2.5	-	
Turn-off delay time	t _{d(off)}	R_{G} =18 Ω	-	58.5	80	
Fall time	<i>t</i> f		-	9.5	14	

Gate Charge Characteristics

Gate to source charge	Q _{gs}	V _{DD} =480V, I _D =4.5A	-	2.2	-	nC
Gate to drain charge	Q_{gd}		-	8.8	-	
Gate charge total	Qg	V _{DD} =480V, I _D =4.5A,	-	19	25	
		V _{GS} =0 to 10V				
Gate plateau voltage	V _(plateau)	V _{DD} =480V, I _D =4.5A	_	5	-	V

Identical low-side and high-side switch.

⁰J-STD20 and JESD22

¹Limited only by maximum temperature

²Repetitve avalanche causes additional power losses that can be calculated as $P_{AV} = E_{AR} * f$.

³Device on 40mm*40mm*1.5mm epoxy PCB FR4 with 6cm² (one layer, 70 μm thick) copper area for drain connection. PCB is vertical without blown air.

⁴Soldering temperature for TO-263: 220°C, reflow

 $^{^5}C_{
m o(er)}$ is a fixed capacitance that gives the same stored energy as $C_{
m oss}$ while $V_{
m DS}$ is rising from 0 to 80% $V_{
m DSS}$.

 $^{^6}C_{\rm o(tr)}$ is a fixed capacitance that gives the same charging time as $C_{\rm oss}$ while $V_{\rm DS}$ is rising from 0 to 80% $V_{\rm DSS}$.

 $⁷_{\mathsf{I}_{SD}} <= \mathsf{I}_{\mathsf{D}}, \, \mathsf{di/dt} <= 400 \, \mathsf{A/us}, \, \mathsf{V}_{\mathsf{DClink}} = 400 \, \mathsf{V}, \, \mathsf{V}_{\mathsf{peak}} < \mathsf{V}_{\mathsf{BR}, \, \mathsf{DSS}}, \, \mathsf{T}_{\mathsf{j}} < \mathsf{T}_{\mathsf{j}, \mathsf{max}}.$

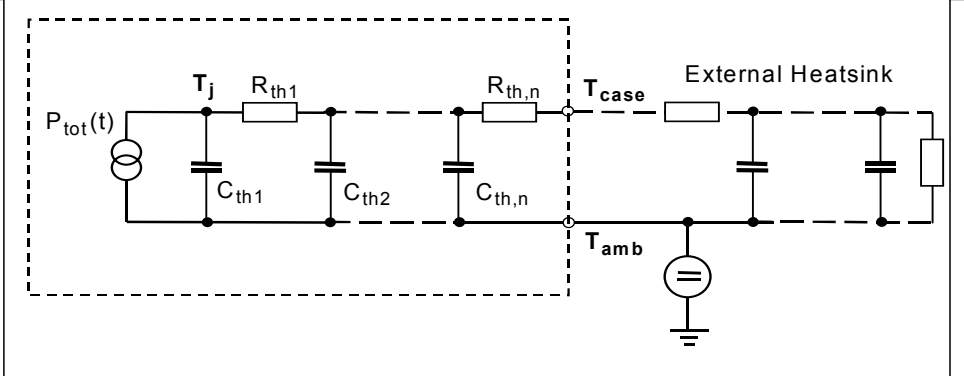


Electrical Characteristics

Parameter	Symbol	Conditions	Values			Unit
			min.	typ.	max.	
Inverse diode continuous	IS	<i>T</i> _C =25°C	-	-	4.5	Α
forward current						
Inverse diode direct current,	I _{SM}		-	-	13.5	
pulsed						
Inverse diode forward voltage	V_{SD}	V _{GS} =0V, I _F =I _S	-	1	1.2	V
Reverse recovery time	t _{rr}	V _R =480V, I _F =I _S ,	-	300	500	ns
Reverse recovery charge	Q _{rr}	d <i>i</i> _F /d <i>t</i> =100A/μs	-	2.6	-	μC
Peak reverse recovery current	/ _{rrm}		-	18	-	Α
Peak rate of fall of reverse	di _{rr} /dt	<i>T</i> _j =25°C	-	900	-	A/µs
recovery current						

Typical Transient Thermal Characteristics

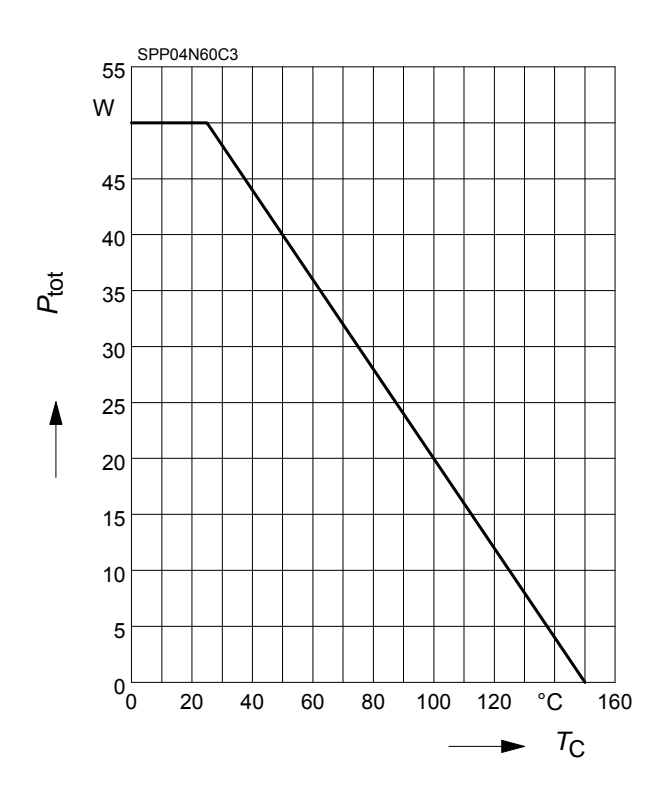
Symbol	Value		Unit	Symbol	Va	lue	Unit
	SPP	SPA			SPP	SPA	
R _{th1}	0.039	0.039	K/W	C _{th1}	0.00007347	0.00007347	Ws/K
R _{th2}	0.074	0.074		C _{th2}	0.0002831	0.0002831	
R _{th3}	0.132	0.132		C _{th3}	0.0004062	0.0004062	
R _{th4}	0.555	0.272		C _{th4}	0.001215	0.001215	
R _{th5}	0.529	0.559		C _{th5}	0.00276	0.005633	
R _{th6}	0.169	2.523	7	C _{th6}	0.029	0.412	





1 Power dissipation

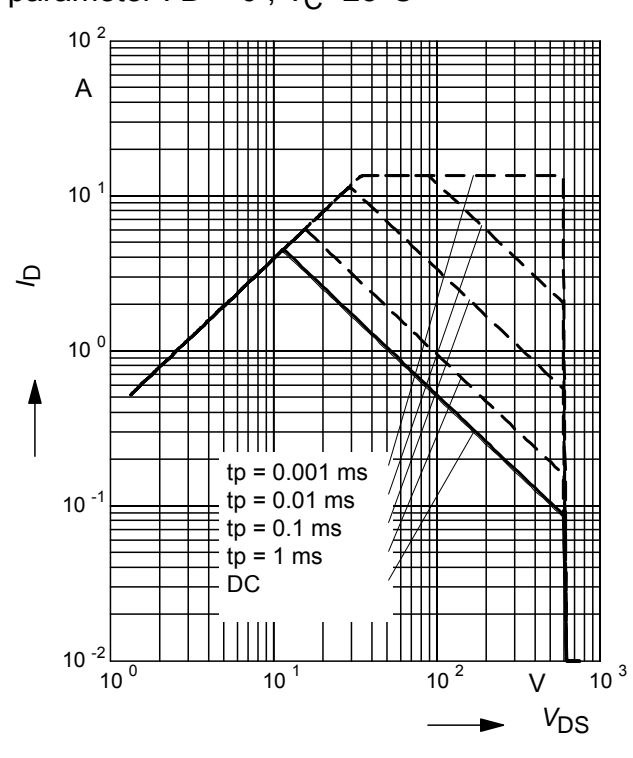
$$P_{\text{tot}} = f(T_{\text{C}})$$



3 Safe operating area

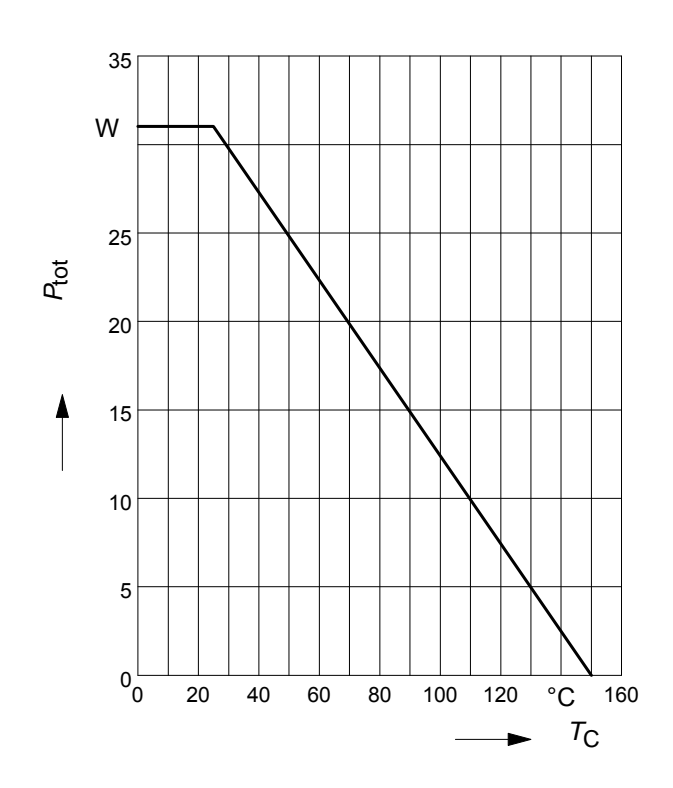
$$I_{D} = f(V_{DS})$$

parameter : D = 0 , $T_C = 25^{\circ}C$



2 Power dissipation FullPAK

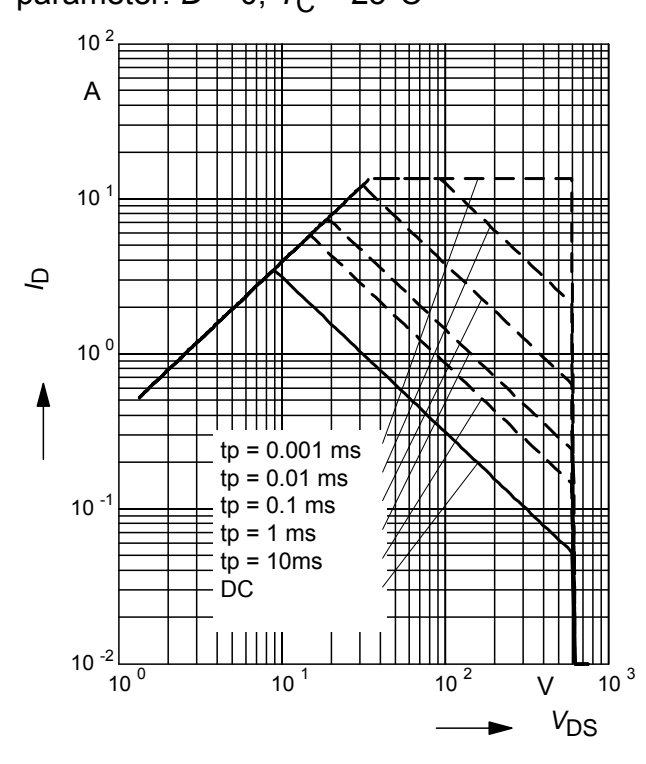
$$P_{\text{tot}} = f(T_{\text{C}})$$



4 Safe operating area FullPAK

$$I_{D} = f(V_{DS})$$

parameter: D = 0, $T_C = 25$ °C

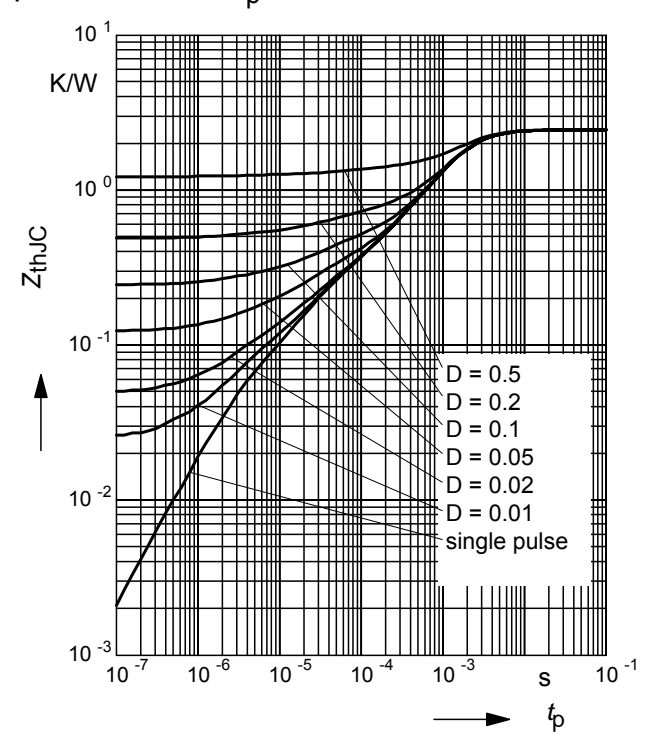




5 Transient thermal impedance

$$Z_{\text{thJC}} = f(t_{\text{p}})$$

parameter: $D = t_D/T$

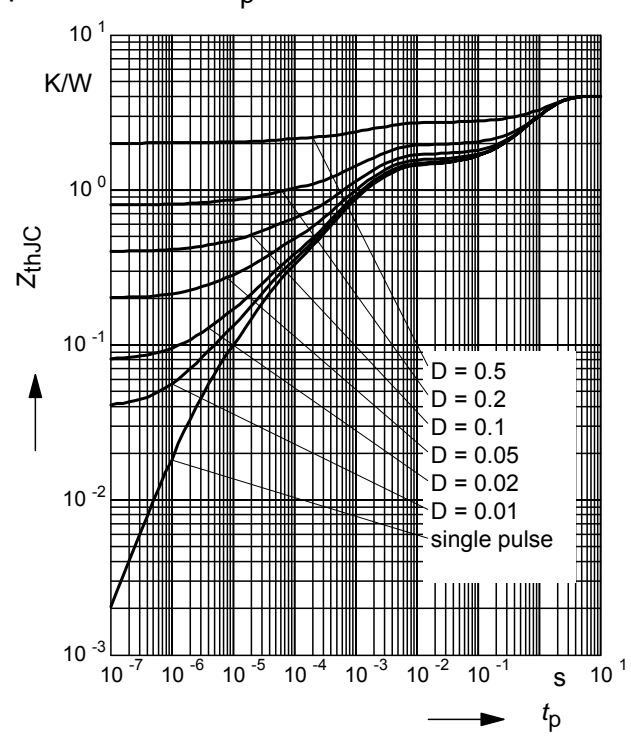


ZthJC = / ('p)

6 Transient thermal impedance FullPAK

$$Z_{\mathsf{thJC}} = f(t_{\mathsf{p}})$$

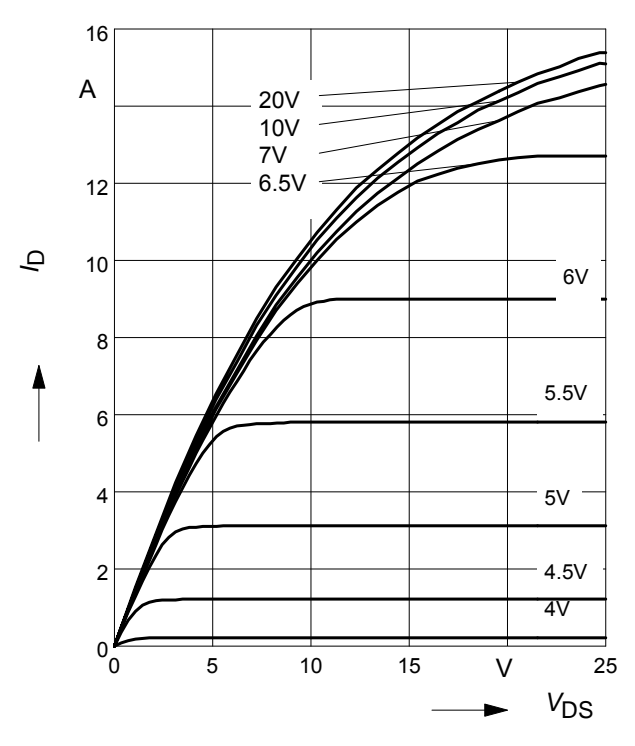
parameter: $D = t_D/t$



7 Typ. output characteristic

 $I_{D} = f(V_{DS}); T_{j}=25^{\circ}C$

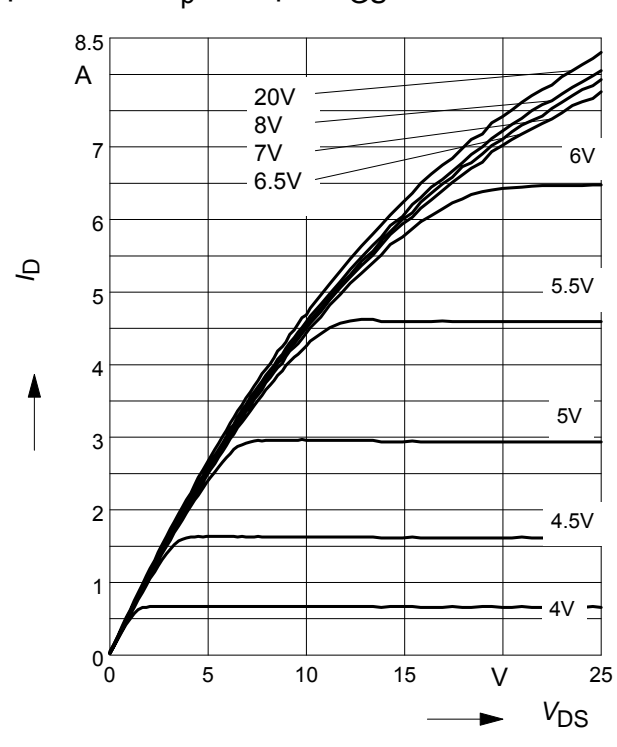
parameter: t_p = 10 μ s, V_{GS}



8 Typ. output characteristic

 $I_{D} = f(V_{DS}); T_{j}=150^{\circ}C$

parameter: $t_p = 10 \mu s$, V_{GS}

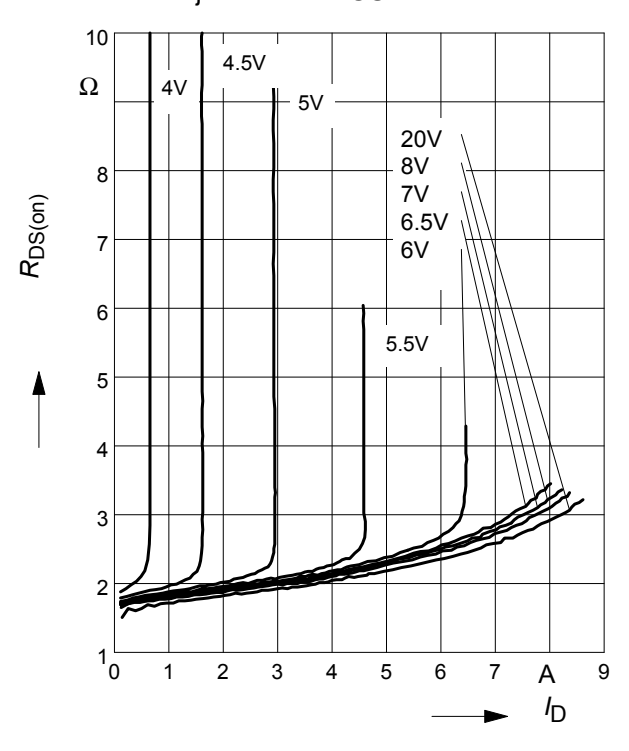




9 Typ. drain-source on resistance

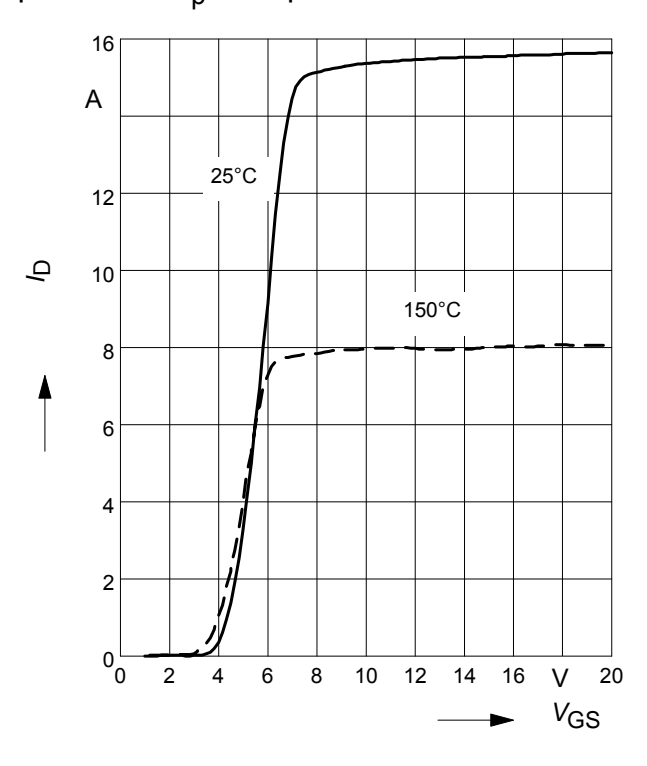
 $R_{DS(on)} = f(I_D)$

parameter: T_i =150°C, V_{GS}



11 Typ. transfer characteristics

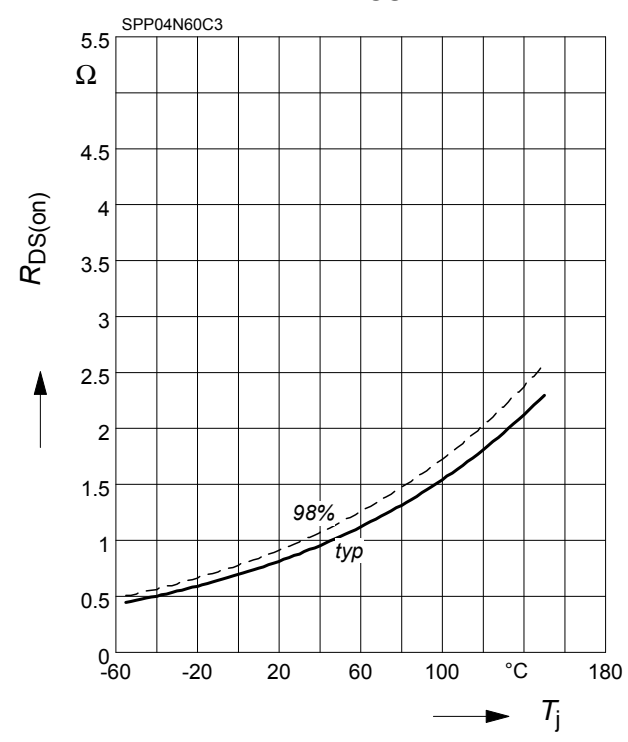
 $I_{\rm D}$ = f ($V_{\rm GS}$); $V_{\rm DS}$ \geq 2 x $I_{\rm D}$ x $R_{\rm DS(on)max}$ parameter: $t_{\rm p}$ = 10 $\mu {\rm s}$



10 Drain-source on-state resistance

 $R_{\text{DS(on)}} = f(T_{j})$

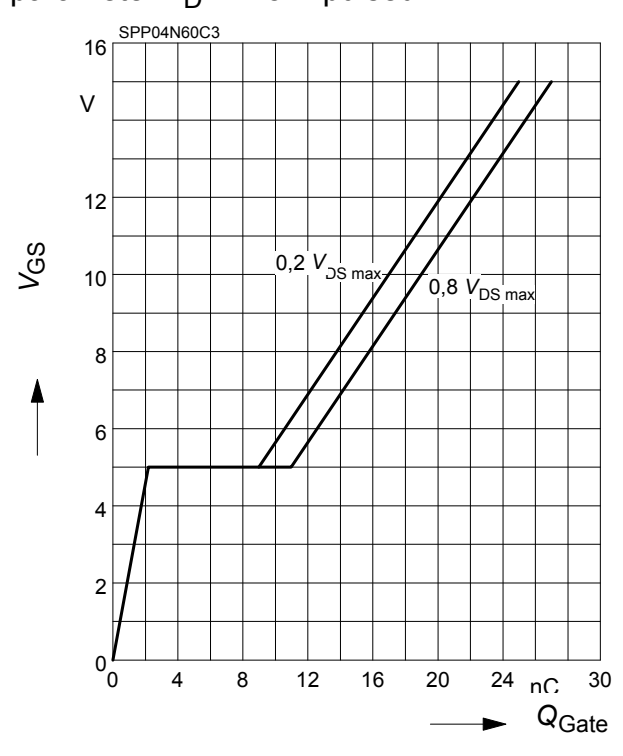
parameter : I_D = 2.8 A, V_{GS} = 10 V



12 Typ. gate charge

 $V_{GS} = f (Q_{Gate})$

parameter: I_D = 4.5 A pulsed

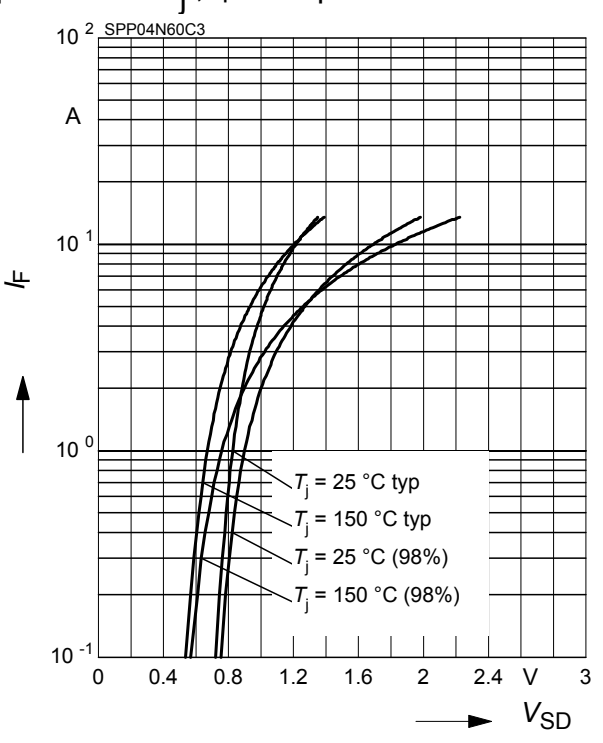




13 Forward characteristics of body diode

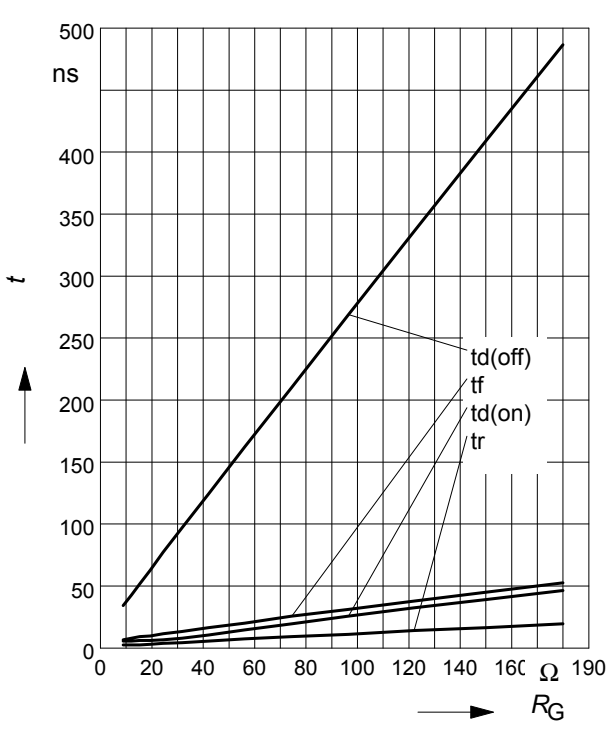
 $I_{\mathsf{F}} = f(\mathsf{V}_{\mathsf{SD}})$

parameter: T_i , $t_p = 10 \mu s$



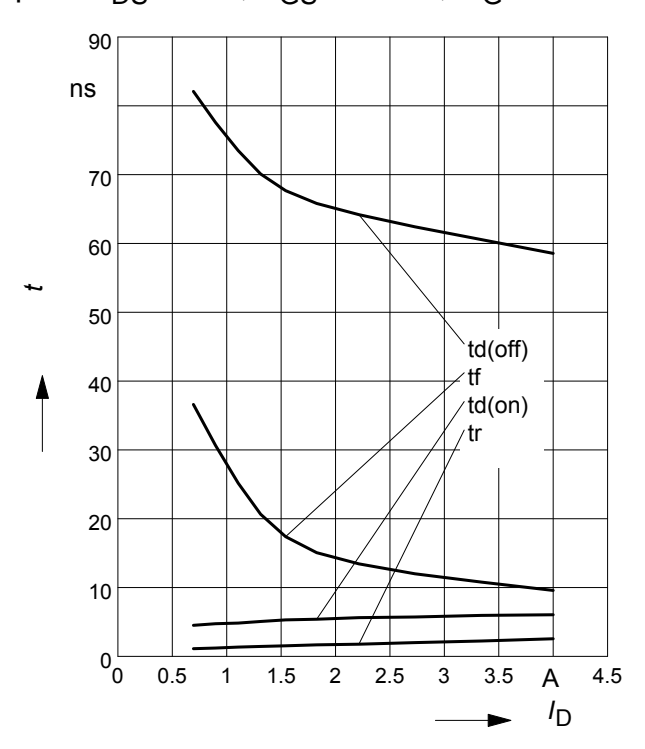
15 Typ. switching time

 $t = f(R_{\rm G})$, inductive load, $T_{\rm j}$ =125°C par.: $V_{\rm DS}$ =380V, $V_{\rm GS}$ =0/+13V, $I_{\rm D}$ =4.5 A



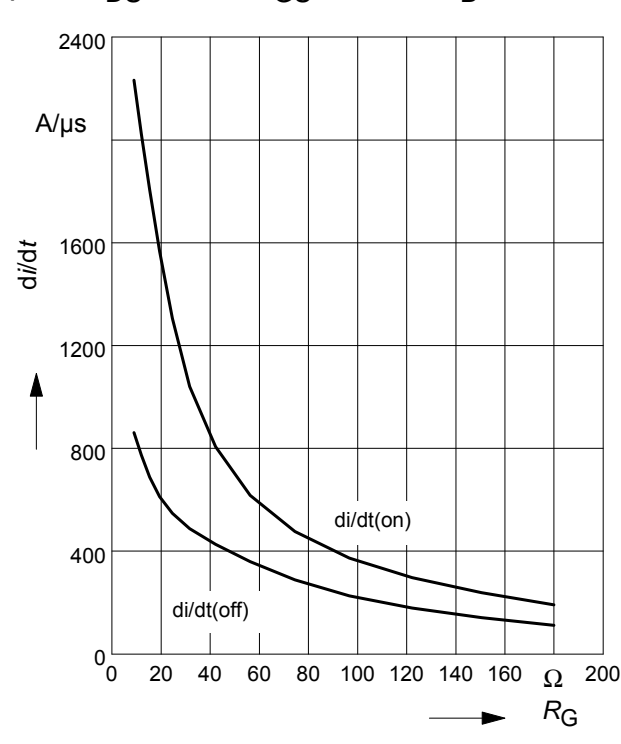
14 Typ. switching time

 $t = f(I_D)$, inductive load, T_j =125°C par.: V_{DS} =380V, V_{GS} =0/+13V, R_G =18 Ω



16 Typ. drain current slope

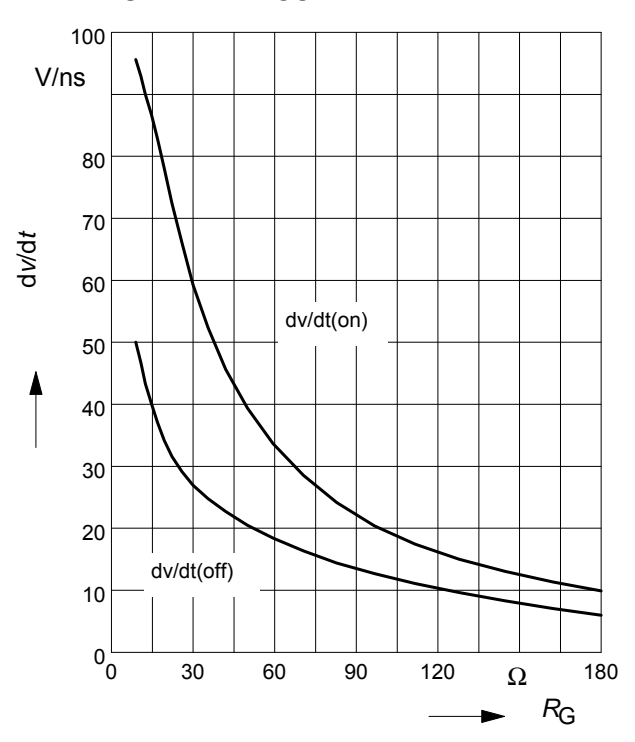
 $di/dt = f(R_G)$, inductive load, $T_j = 125$ °C par.: $V_{DS}=380$ V, $V_{GS}=0/+13$ V, $I_D=4.5$ A





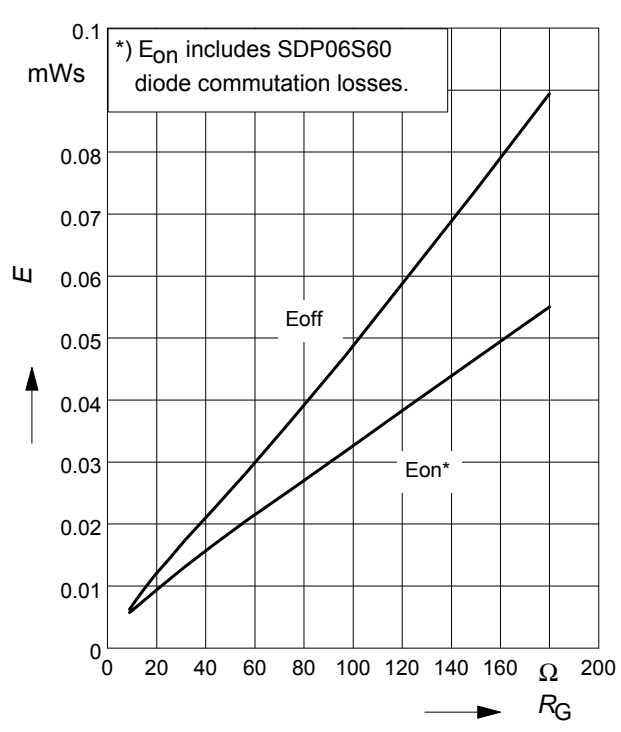
17 Typ. drain source voltage slope

 $dv/dt = f(R_G)$, inductive load, $T_j = 125$ °C par.: V_{DS} =380V, V_{GS} =0/+13V, I_D =4.5A



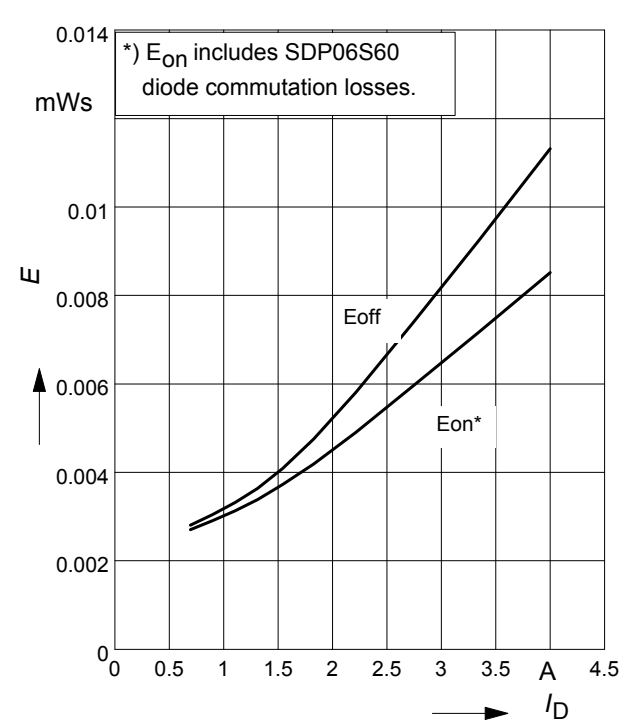
19 Typ. switching losses

 $E = f(R_G)$, inductive load, T_j =125°C par.: V_{DS} =380V, V_{GS} =0/+13V, I_D =4.5A



18 Typ. switching losses

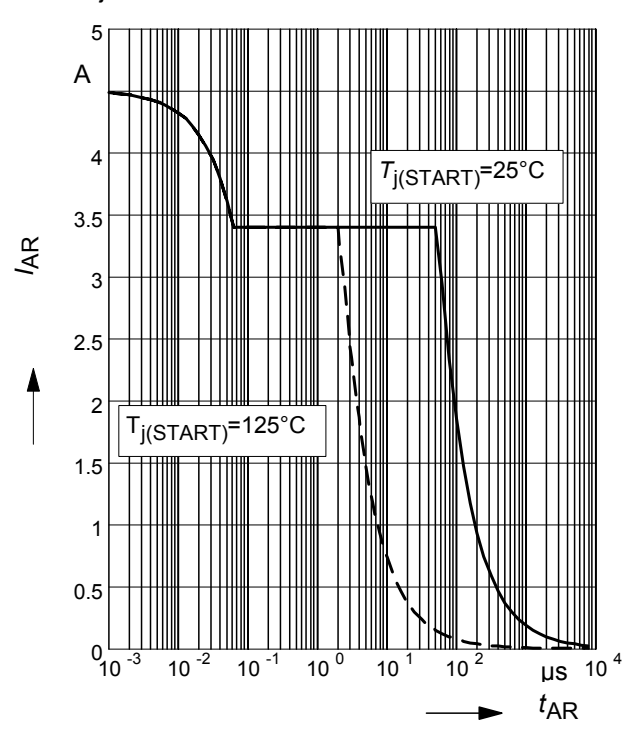
 $E = f(I_{\rm D})$, inductive load, $T_{\rm j}$ =125°C par.: $V_{\rm DS}$ =380V, $V_{\rm GS}$ =0/+13V, $R_{\rm G}$ =18 Ω



20 Avalanche SOA

 $I_{AR} = f(t_{AR})$

par.: $T_j \le 150 \,^{\circ}\text{C}$

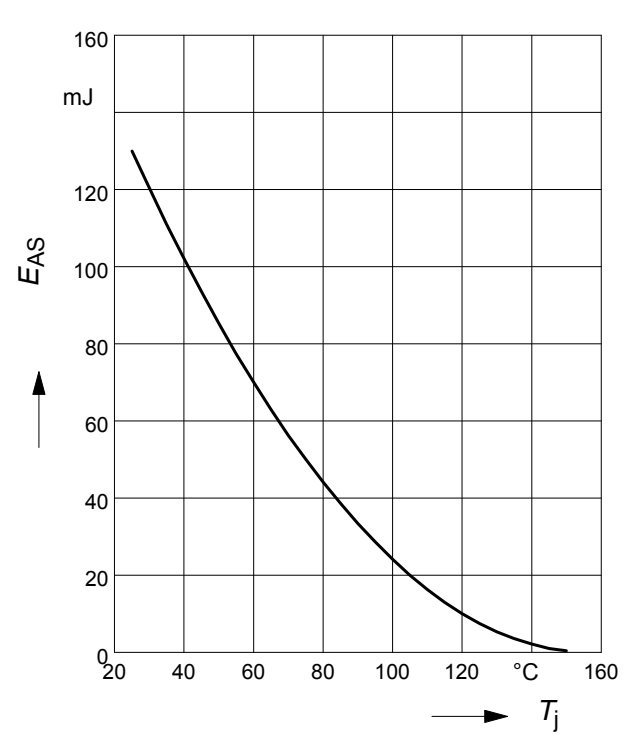




21 Avalanche energy

$$E_{AS} = f(T_i)$$

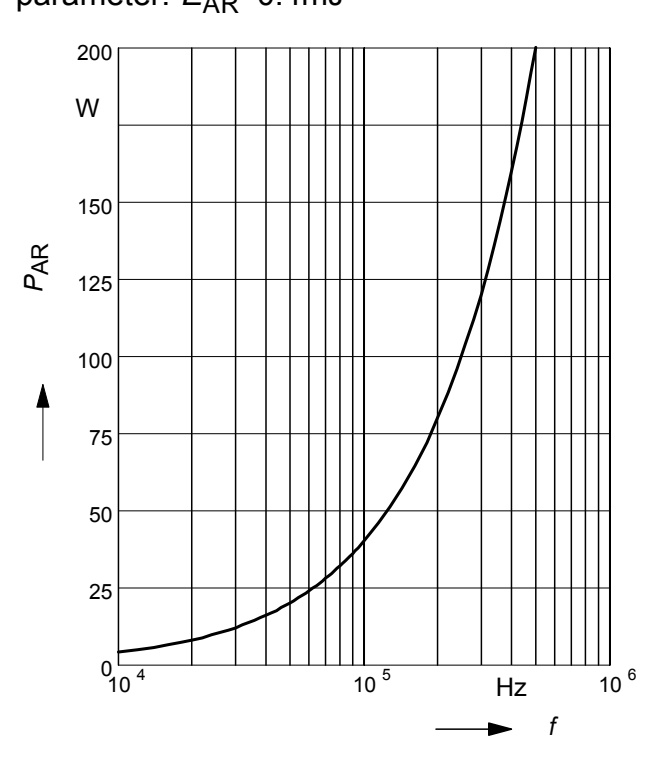
par.:
$$I_D = 3.4$$
, $V_{DD} = 50 \text{ V}$



23 Avalanche power losses

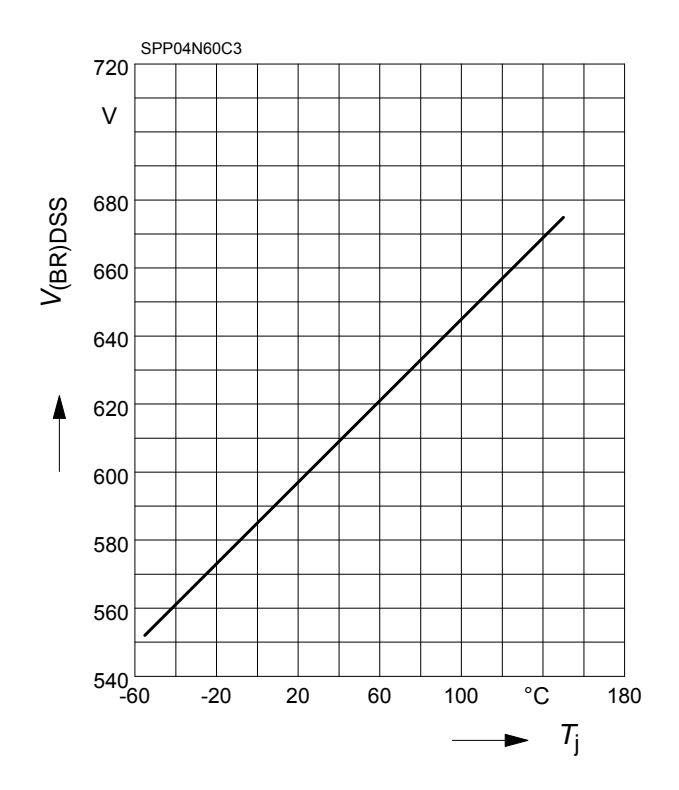
$$P_{AR} = f(f)$$

parameter: E_{AR}=0.4mJ



22 Drain-source breakdown voltage

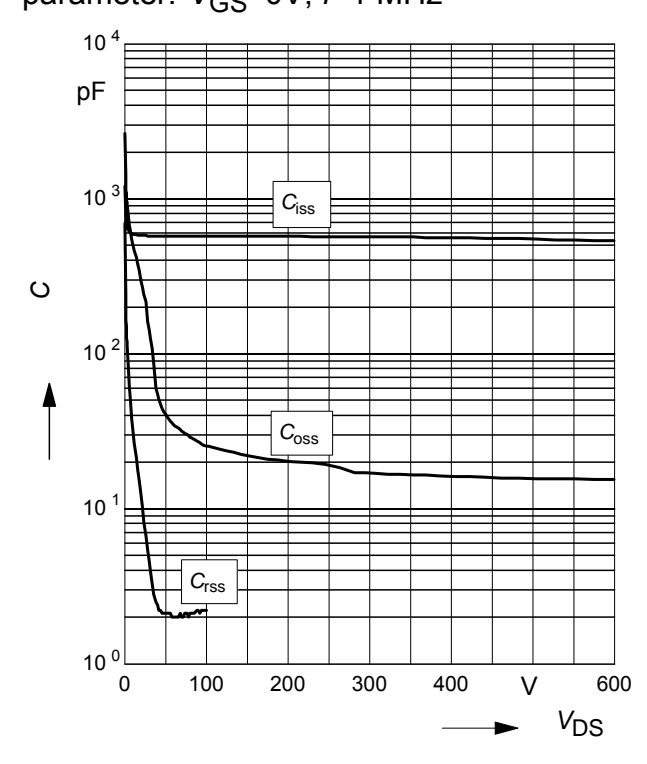
$$V_{(BR)DSS} = f(T_j)$$



24 Typ. capacitances

$$C = f(V_{DS})$$

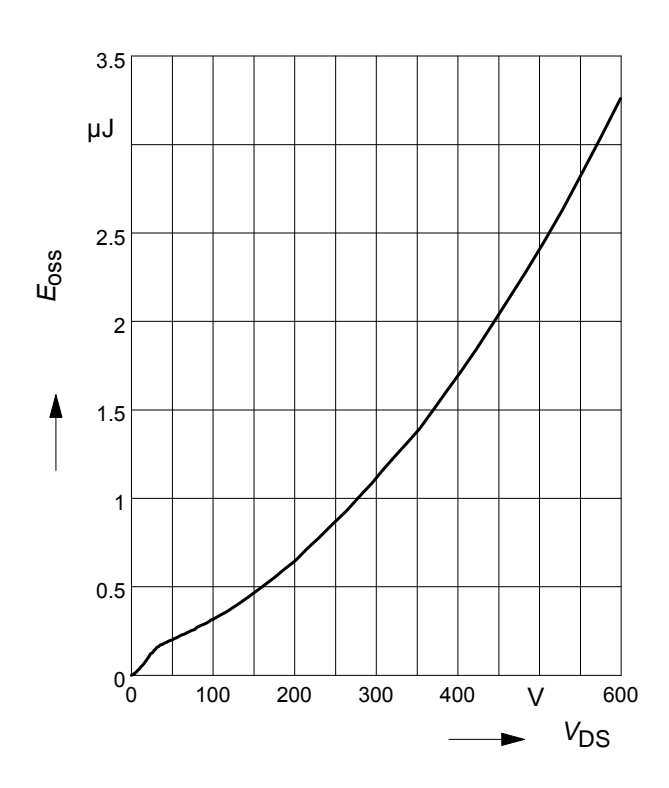
parameter: V_{GS} =0V, f=1 MHz



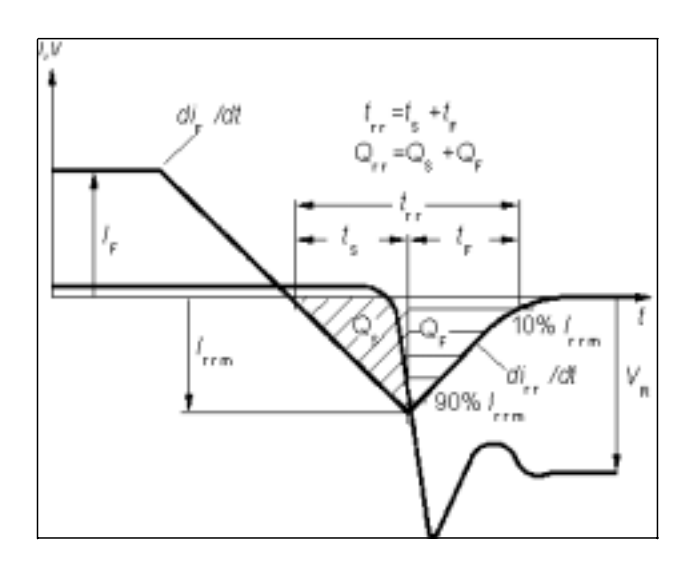


25 Typ. $C_{\rm OSS}$ stored energy

$$E_{\text{oss}} = f(V_{\text{DS}})$$

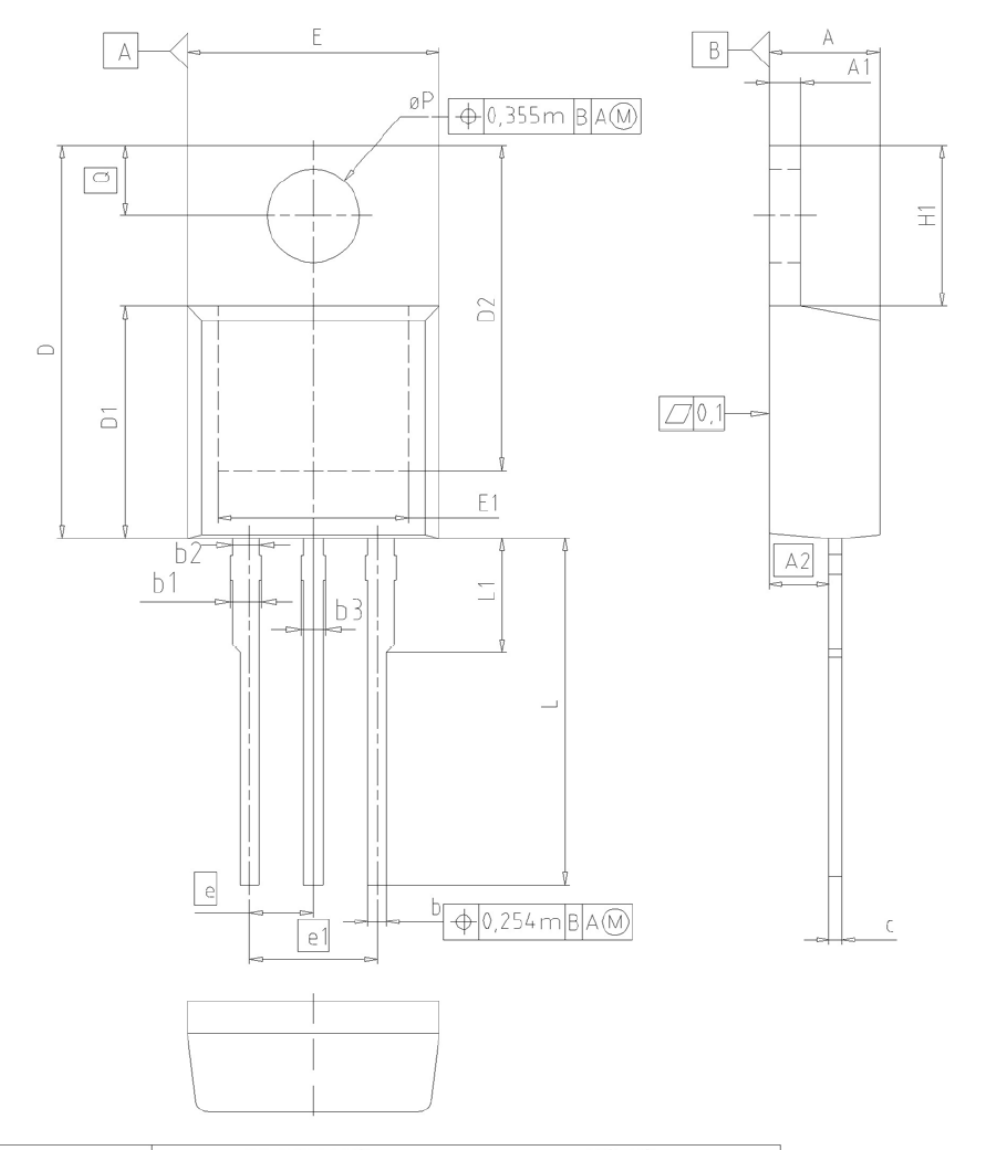


Definition of diodes switching characteristics





PG-TO220-3-1, PG-TO220-3-21: Outline

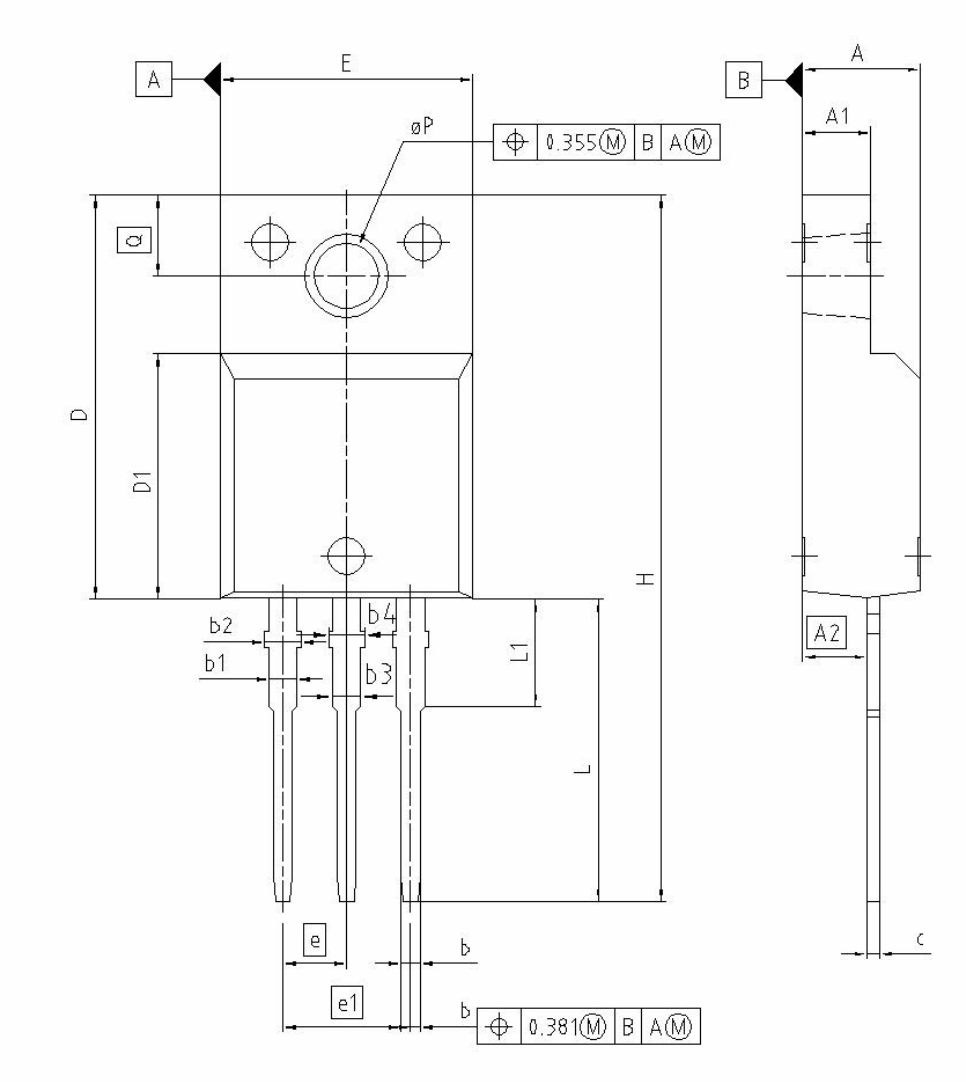


DIM	MILLIMETERS		INC	HES
DIM	MIN	MAX	MIN	MAX
Α	4.30	4.57	0.169	0.180
A1	1.17	1.40	0.046	0.055
A2	2.15	2.72	0.085	0.107
b	0.65	0.86	0.026	0.034
b1	0.95	1.40	0.037	0.055
b2	0.95	1.15	0.037	0.045
b3	0.65	1.15	0.026	0.045
С	0.33	0.60	0.013	0.024
D	14.81	15.95	0.583	0.628
D1	8.51	9.45	0.335	0.372
D2	12.19	13.10	0.480	0.516
E	9.70	10.36	0.382	0.408
E1	6.50	8.60	0.256	0.339
e	2.5	2.54		00
e1	5.0	5.08		200
N	3		(3
H1	5.90	6.90	0.232	0.272
L	13.00	14.00	0.512	0.551
L1	-	4.80	-	0.189
øP	3.60	3.89	0.142	0.153
Q	2.60	3.00	0.102	0.118

DOCUMENT NO. Z8B00003318			
SCALE	0		
0 2.5	2.5 5mm		
EUROPEAN PI	ROJECTION		
ISSUE DATE 23-08-2007			
REVISION 05			



PG-TO220-3-31/3-111 Fully isolated package (2500VAC; 1 minute)



DIM	MILLIMETERS		INCHES	
	MIN	MAX	MIN	MAX
A	4.55	4.85	0.179	0.191
A1	2.55	2.85	0.100	0.112
A2	2.42	2.72	0.095	0.107
b	0.65	0.85	0.026	0.033
b1	0.95	1.33	0.037	0.052
b2	0.95	1.51	0.037	0.059
b3	0.65	1.33	0.026	0.052
b4	0.65	1.51	0.026	0.059
C	0.40	0.63	0.016	0.025
D	15.85	16.15	0.624	0.636
D1	9.53	9.83	0.375	0.387
E	10.35	10.65	0.407	0.419
e	2.54		0.100	
e1	5.08		0.200	
N	3		3	
Н	29.45	29.75	1.159	1.171
L	13.45	13.75	0.530	0.541
L1	3.15	3.45	0.124	0.136
øΡ	2.95	3.20	0.116	0.126
Q	3.15	3.50	0.124	0.138

REFERENCE				
	SCALE 0			
	2.5 0 2.5 5mm			
EUF	ROPEAN PROJECTION			
	1 SSUE DATE 08-01-2007			
	FILE TO220 2			



Published by Infineon Technologies AG 81726 Munich, Germany © 2009 Infineon Technologies AG All Rights Reserved.

Legal Disclaimer

The information given in this document shall in no event be regarded as a guarantee of conditions or characteristics. With respect to any examples or hints given herein, any typical values stated herein and/or any information regarding the application of the device, Infineon Technologies hereby disclaims any and all warranties and liabilities of any kind, including without limitation, warranties of non-infringement of intellectual property rights of any third party.

Information

For further information on technology, delivery terms and conditions and prices, please contact the nearest Infineon Technologies Office (www.infineon.com).

Warnings

Due to technical requirements, components may contain dangerous substances. For information on the types in question, please contact the nearest Infineon Technologies Office.

Infineon Technologies components may be used in life-support devices or systems only with the express written approval of Infineon Technologies, if a failure of such components can reasonably be expected to cause the failure of that life-support device or system or to affect the safety or effectiveness of that device or system. Life support devices or systems are intended to be implanted in the human body or to support and/or maintain and sustain and/or protect human life. If they fail, it is reasonable to assume that the health of the user or other persons may be endangered.



Компания «Океан Электроники» предлагает заключение долгосрочных отношений при поставках импортных электронных компонентов на взаимовыгодных условиях!

Наши преимущества:

- Поставка оригинальных импортных электронных компонентов напрямую с производств Америки, Европы и Азии, а так же с крупнейших складов мира;
- Широкая линейка поставок активных и пассивных импортных электронных компонентов (более 30 млн. наименований);
- Поставка сложных, дефицитных, либо снятых с производства позиций;
- Оперативные сроки поставки под заказ (от 5 рабочих дней);
- Экспресс доставка в любую точку России;
- Помощь Конструкторского Отдела и консультации квалифицированных инженеров;
- Техническая поддержка проекта, помощь в подборе аналогов, поставка прототипов;
- Поставка электронных компонентов под контролем ВП;
- Система менеджмента качества сертифицирована по Международному стандарту ISO 9001;
- При необходимости вся продукция военного и аэрокосмического назначения проходит испытания и сертификацию в лаборатории (по согласованию с заказчиком);
- Поставка специализированных компонентов военного и аэрокосмического уровня качества (Xilinx, Altera, Analog Devices, Intersil, Interpoint, Microsemi, Actel, Aeroflex, Peregrine, VPT, Syfer, Eurofarad, Texas Instruments, MS Kennedy, Miteq, Cobham, E2V, MA-COM, Hittite, Mini-Circuits, General Dynamics и др.);

Компания «Океан Электроники» является официальным дистрибьютором и эксклюзивным представителем в России одного из крупнейших производителей разъемов военного и аэрокосмического назначения «JONHON», а так же официальным дистрибьютором и эксклюзивным представителем в России производителя высокотехнологичных и надежных решений для передачи СВЧ сигналов «FORSTAR».



«JONHON» (основан в 1970 г.)

Разъемы специального, военного и аэрокосмического назначения:

(Применяются в военной, авиационной, аэрокосмической, морской, железнодорожной, горно- и нефтедобывающей отраслях промышленности)

«**FORSTAR**» (основан в 1998 г.)

ВЧ соединители, коаксиальные кабели, кабельные сборки и микроволновые компоненты:

(Применяются в телекоммуникациях гражданского и специального назначения, в средствах связи, РЛС, а так же военной, авиационной и аэрокосмической отраслях промышленности).



Телефон: 8 (812) 309-75-97 (многоканальный)

Факс: 8 (812) 320-03-32

Электронная почта: ocean@oceanchips.ru

Web: http://oceanchips.ru/

Адрес: 198099, г. Санкт-Петербург, ул. Калинина, д. 2, корп. 4, лит. А